

# Caracterização de grafos extremais para os índices topológicos ABC e ABC<sub>gg</sub>

Universidade Estadual do Norte Fluminense Darcy Ribeiro - UENF

Maio, 2024

# Introdução

# Introdução

- A **Teoria dos Grafos (TG)** é um ramo da matemática que estuda sobre grafos.

# Introdução

- A **Teoria dos Grafos (TG)** é um ramo da matemática que estuda sobre grafos.
- Um **grafo** é uma estrutura  $G = G(V, E)$ , constituída por um conjunto finito e não vazio  $V$  de **vértices** e  $E$  de **arestas**.

# Introdução

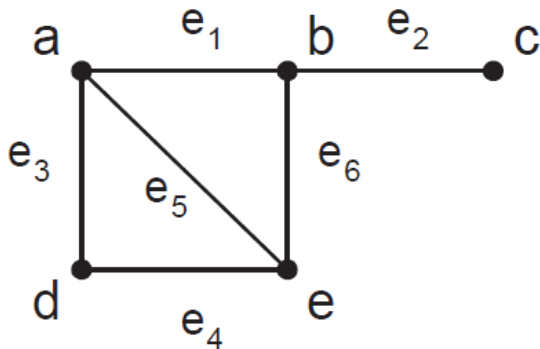


Figura 1: Grafo com 5 vértices e 6 arestas.

# Introdução

- **Teoria dos Grafos Químicos (TGQ):** é um ramo da química matemática que se preocupa com todos os aspectos da aplicação da **Teoria dos Grafos (TG)** à química.

# Introdução

- **Teoria dos Grafos Químicos (TGQ):** é um ramo da química matemática que se preocupa com todos os aspectos da aplicação da **Teoria dos Grafos (TG)** à química.
- **Descritor molecular:** é uma grandeza matemática que descreve a estrutura ou a forma das moléculas químicas.

## Introdução

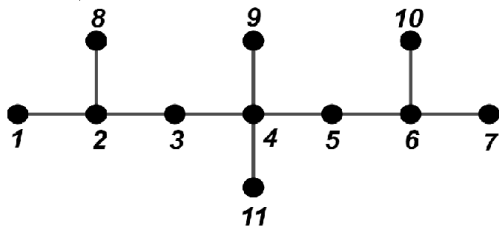
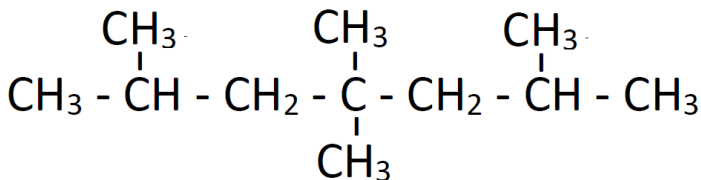
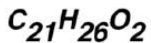


Figura 2: Grafo molecular e formula estrutural 2,4,4,6-tetrametilheptano.

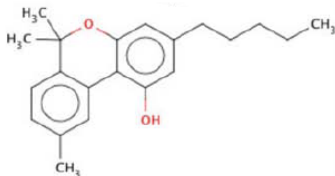


# Introdução

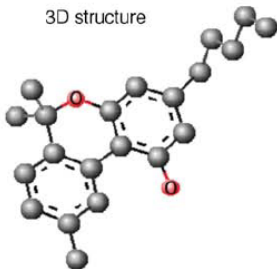
Molecular formula



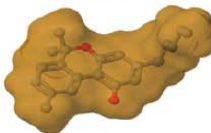
Labeled graph



3D structure



Surface



# Introdução

- **Índice Topológico:** é um valor numérico associado à constituição química para correlação da estrutura química com várias propriedades físicas, reatividade química ou atividade biológica.

# Introdução

- **Índice Topológico:** é um valor numérico associado à constituição química para correlação da estrutura química com várias propriedades físicas, reatividade química ou atividade biológica.
- **Classes de índices topológicos:** baseados nos graus dos vértices, baseados na distância, índices relacionados à contagem, entre outros.

# Índices Topológicos baseados nos graus dos vértices

| Name of index              | Definition   |
|----------------------------|--|
| Randić                     | $R = \sum_{uv \in E(G)} \frac{1}{\sqrt{d(u) \cdot d(v)}}$                          |
| First Zagreb               | $M_1 = \sum_{uv \in E(G)} (d(u) + d(v))$   |
| Second Zagreb              | $M_2 = \sum_{uv \in E(G)} (d(u) \cdot d(v))$                                       |
| Sum-connectivity           | $SC = \sum_{uv \in E(G)} \frac{1}{\sqrt{d(u) + d(v)}}$                             |
| First geometric-arithmetic | $GA_1 = \sum_{uv \in E(G)} \frac{2\sqrt{d(u) \cdot d(v)}}{d(u) + d(v)}$            |
| Augmented Zagreb           | $AZ = \sum_{uv \in E(G)} \left( \frac{d(u) \cdot d(v)}{d(u) + d(v) - 2} \right)^3$ |
| Harmonic                   | $H = \sum_{uv \in E(G)} \frac{2}{(d(u) + d(v))}$                                   |

# Introdução

- O índice topológico surgiu a partir do trabalho realizado por Wiener: *path number*.

## Introdução

- O **índice topológico** surgiu a partir do trabalho realizado por **Wiener**: *path number*.
- **Estrada (1998)**: propôs um índice topológico baseado nos graus dos vértices do grafo: **índice de conectividade atômica** ou **índice ABC** (*atom-bond connectivity*).

## Introdução

- O **índice topológico** surgiu a partir do trabalho realizado por **Wiener**: *path number*.
- **Estrada (1998)**: propôs um índice topológico baseado nos graus dos vértices do grafo: **índice de conectividade atômica** ou **índice ABC** (*atom-bond connectivity*).

## Introdução

$$ABC(G) = \sum_{uv \in E(G)} \sqrt{\frac{d(u) + d(v) - 2}{d(u)d(v)}}$$

Onde  $d(u)$  representa o número de arestas incidentes no vértice  $u$ .



## Introdução: Índice $ABC_{GG}$

**Graovac e Ghorbani (2010)**, propuseram uma nova versão do índice ABC: índice de *Graovac-Ghorbani* ( $ABC_{GG}$ ).

## Introdução: Índice $ABC_{GG}$

**Graovac e Ghorbani (2010)**, propuseram uma nova versão do índice ABC: índice de *Graovac-Ghorbani* ( $ABC_{GG}$ ).

$$ABC_{GG}(G) = \sum_{uv \in E(G)} \sqrt{\frac{n(u) + n(v) - 2}{n(u)n(v)}}$$

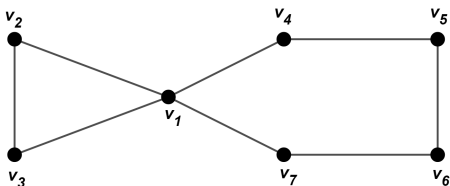
onde  $n(u)$  é o número de vértices mais próximos do vértice  $u$  do que ao vértice  $v$  e  $n(v)$  é definido de forma similar.

## Um exemplo

Considere o seguinte grafo:

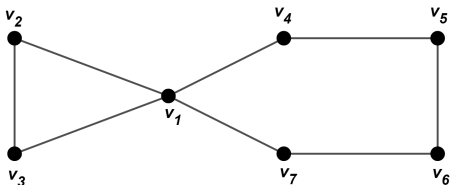
## Um exemplo

Considere o seguinte grafo:



## Um exemplo

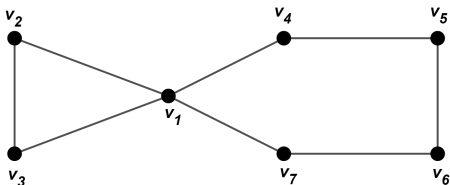
Considere o seguinte grafo:



$$ABC_{GG}(G) = \sum_{uv \in E(G)} \sqrt{\frac{n(u) + n(v) - 2}{n(u)n(v)}} =$$

## Um exemplo

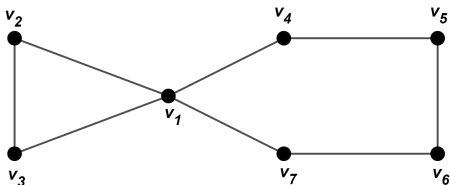
Considere o seguinte grafo:



$$ABC_{GG}(G) = \sum_{uv \in E(G)} \sqrt{\frac{n(u) + n(v) - 2}{n(u)n(v)}} = \sqrt{\frac{1 + 1 - 2}{1 \cdot 1}}$$

## Um exemplo

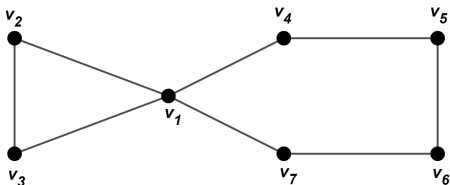
Considere o seguinte grafo:



$$ABC_{GG}(G) = \sum_{uv \in E(G)} \sqrt{\frac{n(u) + n(v) - 2}{n(u)n(v)}} = \sqrt{\frac{1 + 1 - 2}{1 \cdot 1}} +$$

## Um exemplo

Considere o seguinte grafo:

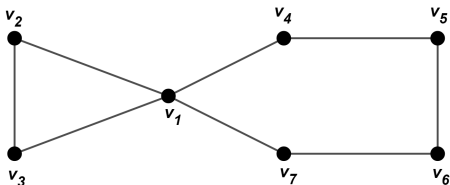


$$\begin{aligned}
 ABC_{GG}(G) &= \sum_{uv \in E(G)} \sqrt{\frac{n(u) + n(v) - 2}{n(u)n(v)}} = \sqrt{\frac{1 + 1 - 2}{1 \cdot 1}} + \\
 &2\sqrt{\frac{1 + 5 - 2}{1 \cdot 5}}
 \end{aligned}$$



## Um exemplo

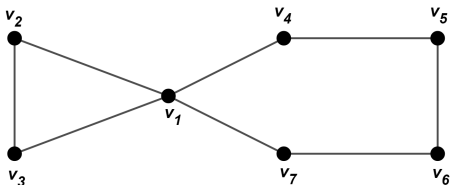
Considere o seguinte grafo:



$$\begin{aligned}
 ABC_{GG}(G) &= \sum_{uv \in E(G)} \sqrt{\frac{n(u) + n(v) - 2}{n(u)n(v)}} = \sqrt{\frac{1 + 1 - 2}{1 \cdot 1}} + \\
 &2\sqrt{\frac{1 + 5 - 2}{1 \cdot 5}} + 4\sqrt{\frac{2 + 4 - 2}{2 \cdot 4}} +
 \end{aligned}$$

## Um exemplo

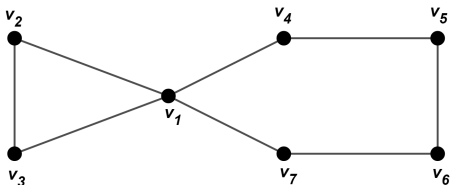
Considere o seguinte grafo:



$$\begin{aligned}
 ABC_{GG}(G) &= \sum_{uv \in E(G)} \sqrt{\frac{n(u) + n(v) - 2}{n(u)n(v)}} = \sqrt{\frac{1 + 1 - 2}{1 \cdot 1}} + \\
 &2\sqrt{\frac{1 + 5 - 2}{1 \cdot 5}} + 4\sqrt{\frac{2 + 4 - 2}{2 \cdot 4}} + \sqrt{\frac{2 + 2 - 2}{2 \cdot 2}} =
 \end{aligned}$$

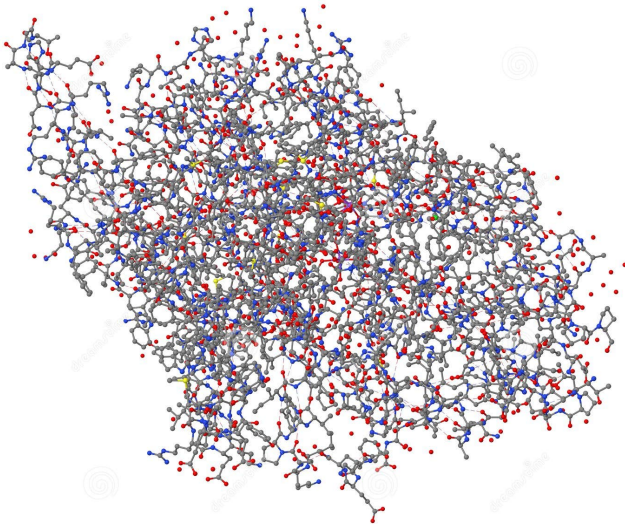
## Um exemplo

Considere o seguinte grafo:



$$\begin{aligned}
 ABC_{GG}(G) &= \sum_{uv \in E(G)} \sqrt{\frac{n(u) + n(v) - 2}{n(u)n(v)}} = \sqrt{\frac{1 + 1 - 2}{1 \cdot 1}} + \\
 &2\sqrt{\frac{1 + 5 - 2}{1 \cdot 5}} + 4\sqrt{\frac{2 + 4 - 2}{2 \cdot 4}} + \sqrt{\frac{2 + 2 - 2}{2 \cdot 2}} = \frac{4}{\sqrt{5}} + \frac{5\sqrt{2}}{2}
 \end{aligned}$$

## Um exemplo



## Justificativa

O índice **ABC** provou ser um bom modelo para a **estabilidade dos alcanos lineares e ramificados**, bem como para a **energia de deformação dos cicloalcanos**.

# Justificativa

O índice **ABC** provou ser um bom modelo para a **estabilidade dos alcanos lineares e ramificados**, bem como para a **energia de deformação dos cicloalcanos**.

***MATCH***

*Communications in Mathematical  
and in Computer Chemistry*

MATCH Commun. Math. Comput. Chem. **75** (2016) 233-242

ISSN 0340 - 6253

## Atom–Bond Connectivity Index Versus Graovac–Ghorbani Analog

Boris Furtula

## Justificativa

- O potencial de predição do índice  $ABC_{GG}$  é comparado com  $ABC$ , a partir de um conjunto de dados de todos os octanos para propriedades físico-químicas *Entropia (S)* e *Fator Acentrico*.

## Justificativa

- O potencial de predição do índice  $ABC_{GG}$  é comparado com  $ABC$ , a partir de um conjunto de dados de todos os octanos para propriedades físico-químicas *Entropia (S)* e *Fator Acentrico*.
- As correlações entre o índice  $ABC_{GG}$  e esses dois parâmetros físico-químicos são melhores do que em relação ao índice  $ABC$ .



## Justificativa

- O potencial de predição do índice  $ABC_{GG}$  é comparado com  $ABC$ , a partir de um conjunto de dados de todos os octanos para propriedades físico-químicas *Entropia (S)* e *Fator Acentrico*.
- As correlações entre o índice  $ABC_{GG}$  e esses dois parâmetros físico-químicos são melhores do que em relação ao índice  $ABC$ .

|                 | $ABC$  | $ABC_{GG}$ |
|-----------------|--------|------------|
| $S$             | -0.807 | -0.905     |
| Acentric Factor | -0.788 | -0.977     |

## Justificativa

- O potencial de predição de  $ABC_{GG}$  é comparado com os índices *Wiener* (W), *Balaban*(J) e *Harary* (H), a partir de um conjunto de dados de todos os octanos para propriedades físico-químicas como *Entropia* (S), *Fator Acentrico*, e *Calor de Vaporização*.

## Justificativa

- O potencial de predição de  $ABC_{GG}$  é comparado com os índices *Wiener* (W), *Balaban*(J) e *Harary* (H), a partir de um conjunto de dados de todos os octanos para propriedades físico-químicas como *Entropia* (S), *Fator Acentrico*, e *Calor de Vaporização*.

|                  | <i>J</i> | <i>H</i> | <i>W</i> | $ABC_{GG}$ |
|------------------|----------|----------|----------|------------|
| <i>S</i>         | -0.906   | -0.929   | 0.878    | -0.905     |
| AcentFac         | -0.979   | -0.992   | 0.966    | -0.977     |
| $\Delta H_{VAP}$ | -0.707   | -0.779   | 0.738    | -0.810     |

# Objetivos do Trabalho

Das (2016), relata vários problemas em aberto.

Applied Mathematics and Computation 275 (2016) 353–360



ELSEVIER

Contents lists available at [ScienceDirect](#)

Applied Mathematics and Computation

journal homepage: [www.elsevier.com/locate/amc](http://www.elsevier.com/locate/amc)



On the Graovac–Ghorbani index of graphs

Kinkar Ch. Das\*



# Objetivos do Trabalho

## Objetivos do Trabalho

- Para  $n \in \mathbb{N}$ , qual grafo possui valor mínimo para o índice  $ABC_{GG}$  dentre todos os **grafos bicíclicos** com  $n$  vértices?

## Objetivos do Trabalho

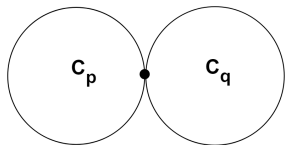
- Para  $n \in \mathbb{N}$ , qual grafo possui valor mínimo para o índice  $ABC_{GG}$  dentre todos os **grafos bicíclicos** com  $n$  vértices?
- qual grafo possui valor extremal para o índice  $ABC_{GG}$  dentre todos os grafos de estruturas químicas como **fulerenos**?

## Objetivos do Trabalho

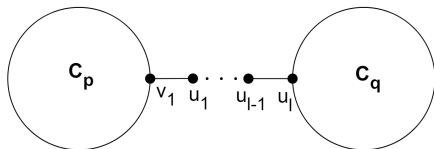
- Para  $n \in \mathbb{N}$ , qual grafo possui valor mínimo para o índice  $ABC_{GG}$  dentre todos os **grafos bicíclicos** com  $n$  vértices?
- qual grafo possui valor extremal para o índice  $ABC_{GG}$  dentre todos os grafos de estruturas químicas como **fulerenos**?
- qual grafo possui valor extremal para o índice  $ABC_{GG}$  dentre todos os grafos de estruturas químicas como **sistemas hexagonais**?



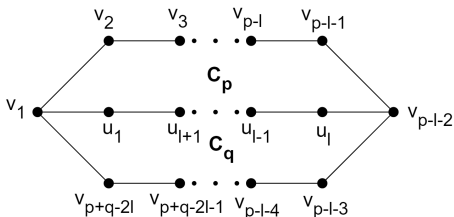
# Um exemplo: Grafos Bicíclicos



$B_1(p, q)$



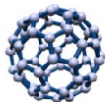
$B_2(p, l, q)$



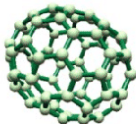
$B_3(p, l, q)$

## Um exemplo: Fullerenos

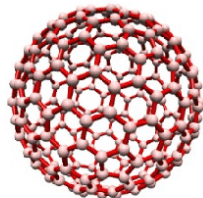
### Fullerenos



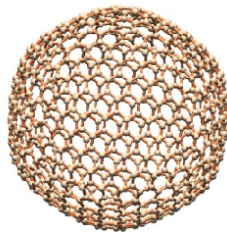
**C60**



**C70**



**C240**



**C720**

## Um exemplo: Sistemas Hexagonais



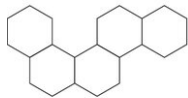
(a)



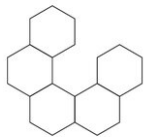
(b)



(c)



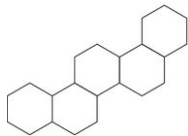
(d)



(e)



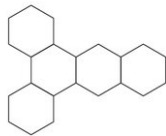
(f)



(g)



(h)



(i)

# Metodologia

- Seja  $\mathcal{O}(n)$  o conjunto de todos os grafos conexos com  $n$  vértices, que possui apenas um vértice com grau maior ou igual a três.

# Metodologia

- Seja  $\mathcal{O}(n)$  o conjunto de todos os grafos conexos com  $n$  vértices, que possui apenas um vértice com grau maior ou igual a três.
- Utilizamos o pacote *Nauty-Traces* para gerar todos grafos;

# Metodologia

- Seja  $\mathcal{O}(n)$  o conjunto de todos os grafos conexos com  $n$  vértices, que possui apenas um vértice com grau maior ou igual a três.
- Utilizamos o pacote *Nauty-Traces* para gerar todos grafos;
- Implementamos rotinas para os cálculos dos invariantes em Java e Python utilizando os softwares BlueJ e Cocalc, respectivamente;

# Justificativa

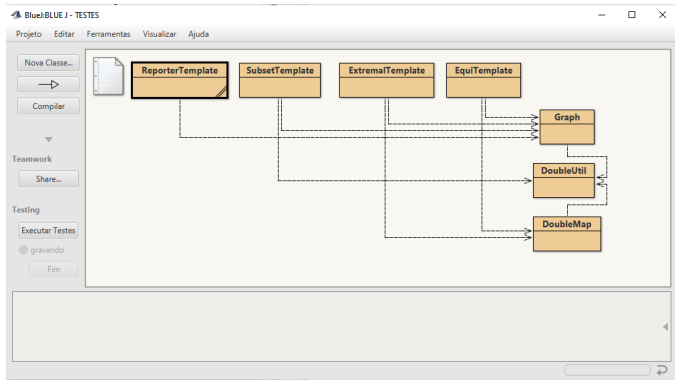
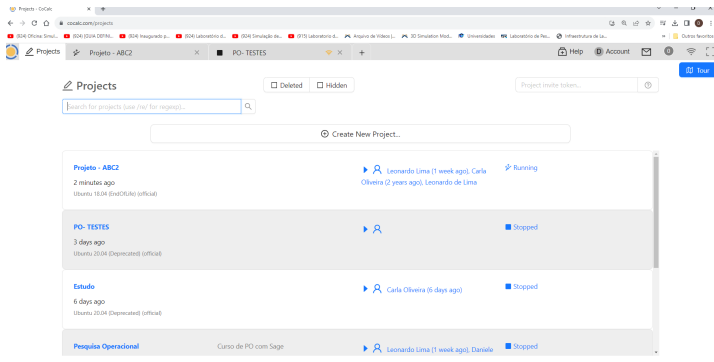


Figura 4: Software BlueJ

# Justificativa



Cocalc by SageMath, Inc. - System Status - Terms of Service - help@cocalc.com - © 2023

Figura 5: www.Cocalc.com



## Simple graphs

2 vertices: [all](#) (2) [connected](#) (1)  
3 vertices: [all](#) (4) [connected](#) (2)  
4 vertices: [all](#) (11) [connected](#) (6)  
5 vertices: [all](#) (34) [connected](#) (21)  
6 vertices: [all](#) (156) [connected](#) (112)  
7 vertices: [all](#) (1044) [connected](#) (853)  
8 vertices: [all](#) (12346) [connected](#) (11117)  
9 vertices: [all](#) (274668) [connected](#) (261080)  
10 vertices: [all](#) (31MB gzipped) (12005168) [connected](#) (30MB gzipped) (11716571)  
11 vertices: [all](#) (2514MB gzipped) (1018997864)

Figura 6: Grafos Gerais

# Metodologia

## Conjectura 1

Seja o grafo  $G \in \mathcal{O}(n)$ , com  $n \geq 11$  par, então, temos

$$ABC_{GG}(G) \geq 2(n-2) \sqrt{\frac{n-3}{(n-2)n}} + \sqrt{\frac{n-2}{n-1}} + \frac{2\sqrt{n-4}}{n-2}. \quad (1)$$

Se  $n \geq 11$  ímpar, então temos que

$$ABC_{GG}(G) \geq 2(n-1) \sqrt{\frac{n-2}{(n+1)(n-1)}} + \sqrt{\frac{n-2}{n-1}}. \quad (2)$$

A igualdade é válida se e somente se  $G$  for isomórfico a  $H$ .



# Metodologia

Seja  $p$  e  $q$  os graus dos vértices centrais do grafo  $S$ , conforme a Figura abaixo. A partir disto, define-se a conjectura abaixo.

# Metodologia

Seja  $p$  e  $q$  os graus dos vértices centrais do grafo  $S$ , conforme a Figura abaixo. A partir disto, define-se a conjectura abaixo.

## Conjectura 2

Seja  $G \in \mathcal{Q}$  de ordem  $n \geq 10$ . Então,

$$\frac{(n-2)\sqrt{2}}{2} + \sqrt{\frac{p+q-2}{pq}} \leq ABC(G) \leq \frac{\sqrt{2(n-2)}}{n-1} + (n-2)\sqrt{2}.$$

A igualdade é válida se e somente se  $G$  é o grafo isomorfo a  $T$  ou  $G$  for isomorfo a  $S$ , respectivamente.

# Metodologia

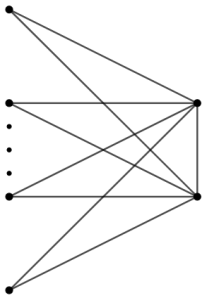


Figura 8: Grafo  $T$ .

# Metodologia

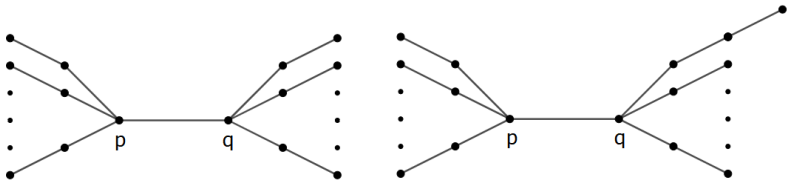
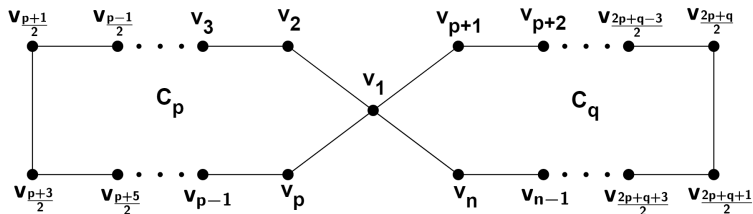


Figura 9: Grafo  $S$  para  $n$  par e ímpar, respectivamente.

# Índice $ABC_G$ para os grafos

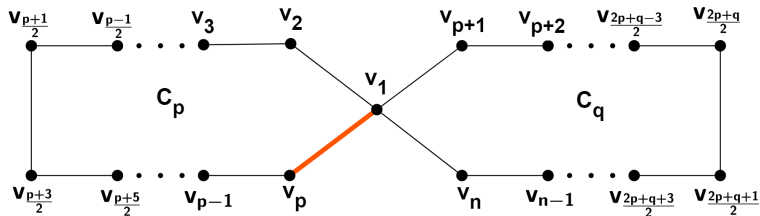


Rotulação dos vértices do grafo  $G \in B_1(n)$ , onde  $C_p$  e  $C_q$  são ciclos ímpares.



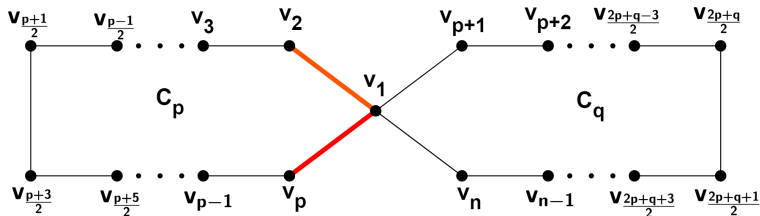
# Índice $ABC_{GG}$ para os grafos

Caso 1:  $C_p$  e  $C_q$  são ciclos ímpares.



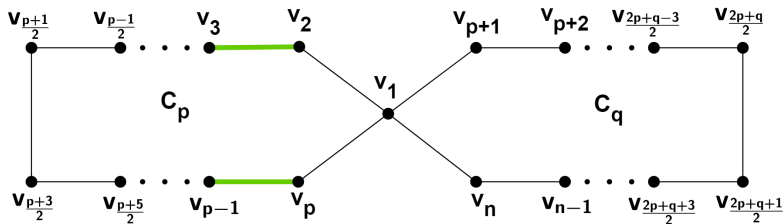
# Índice $ABC_G$ para os grafos

Caso 1:  $C_p$  e  $C_q$  são ciclos ímpares.



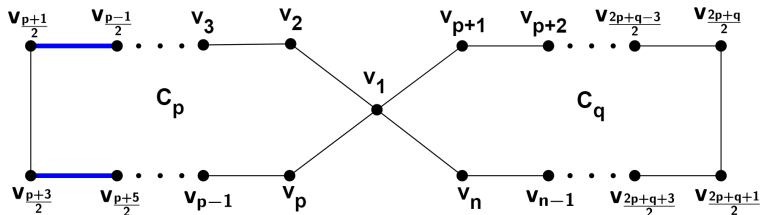
# Índice $ABC_{GG}$ para os grafos

Caso 1:  $C_p$  e  $C_q$  são ciclos ímpares.



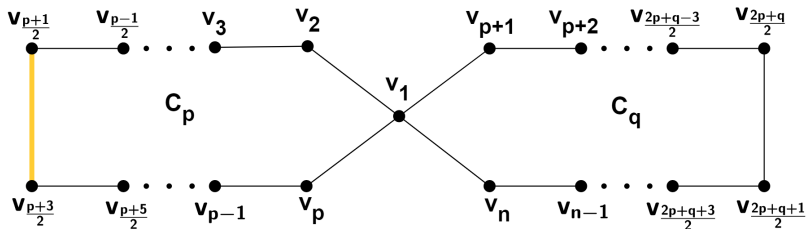
# Índice $ABC_G$ para os grafos

Caso 1:  $C_p$  e  $C_q$  são ciclos ímpares.



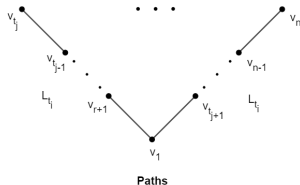
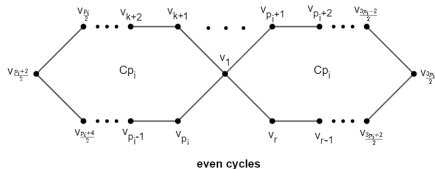
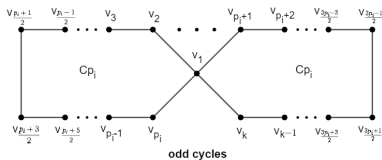
# Índice $ABC_{GG}$ para os grafos

Caso 1:  $C_p$  e  $C_q$  são ciclos ímpares.



# Índice $ABC_{GG}$ para $G \in \mathcal{O}(n)$

Graphs of odd cycles, even cycles and paths, respectively.



## Resultado: Família $\mathcal{O}(n)$

### Theorem 1

Let  $v_1 \in V(G)$  be the unique vertex of graph  $G \in \mathcal{O}(n)$ , with  $d(v_1) \geq 3$ , being  $n = \sum_{i=1}^w Q_{p_i}(p_i - 1) + \sum_{j=1}^s Q_{t_j}t_j + 1$  the number of vertices. Then,

$$\begin{aligned}
 ABC_{GG}(G) &= \sum_{i=1}^w Q_{p_i} \left[ 2(p_i - 1) \sqrt{\frac{n - 3}{(p_i - 1)(2n - p_i - 1)}} \right. \\
 &+ \left. \frac{2\sqrt{p_i - 3}}{p_i - 1} + 2p_i \sqrt{\frac{n - 2}{(p_i)(2n - p_i)}} \right] \\
 &+ \sum_{j=1}^s \sum_{i=0}^{t_j-1} Q_{t_j} \sqrt{\frac{n - 2}{(i+1)(n-i-1)}}.
 \end{aligned}$$

## Resultado: Família $\mathcal{O}(n)$

### Corollary 1.1

Let  $n \geq 9$  odd, where the largest cycle is denoted by  $C_{p_w}$  (with odd size), the second smallest cycle, denoted by  $C_{p'_1}$  and the remaining cycles to be added at the vertex  $w$  denoted by  $C_{p''_1}$ . Then, we have

$$\begin{aligned}
 ABC_{GG}(G) &= 2(p_w - 1) \sqrt{\frac{n-3}{(p_w-1)(2n-p_w-1)}} + \frac{2\sqrt{p_w-3}}{p_w-1} \\
 &+ 2(p'_1 - 1) \sqrt{\frac{n-3}{(p'_1-1)(2n-p'_1-1)}} + \frac{2\sqrt{p'_1-3}}{p'_1-1}
 \end{aligned}$$



# Resultado: Família $\mathcal{O}(n)$

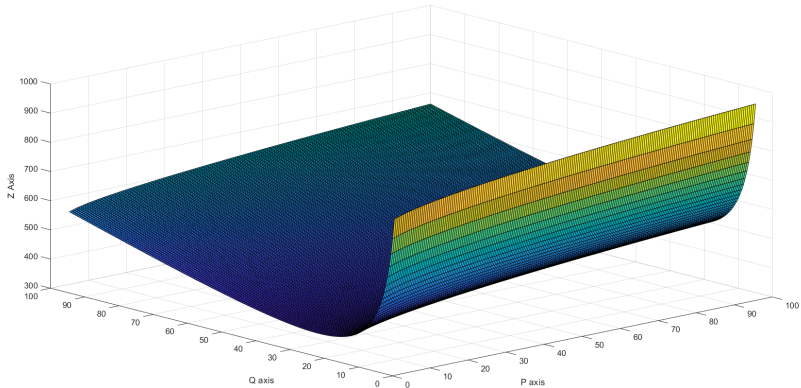


Figura 10: Function  $f(p, q)$

## Resultado: Família $\mathcal{O}(n)$

### Lemma 1.1

Let  $n \geq 8$  even and  $0 \leq x \leq n - 6$  even. Then, the function is defined as

$$f_1(x) = 2(n - 2 - x) \sqrt{\frac{n - 2}{(n - 2 - x)(n + x + 2)}} + \left(\frac{x}{2} + 1\right) 2\sqrt{\frac{n - 3}{n - 2}}.$$

Let  $n \geq 9$  and  $0 \leq x \leq n - 5$  even. The function is defined as

$$g_1(x) = 2(n - x - 3) \sqrt{\frac{n - 3}{(n - x - 3)(n + x + 1)}} + \frac{2\sqrt{n - x - 5}}{n - x - 3} \\ + \left(\frac{x}{2} + 1\right) 2\sqrt{\frac{n - 3}{n - 2}}.$$

# Resultado: Família $\mathcal{O}(n)$

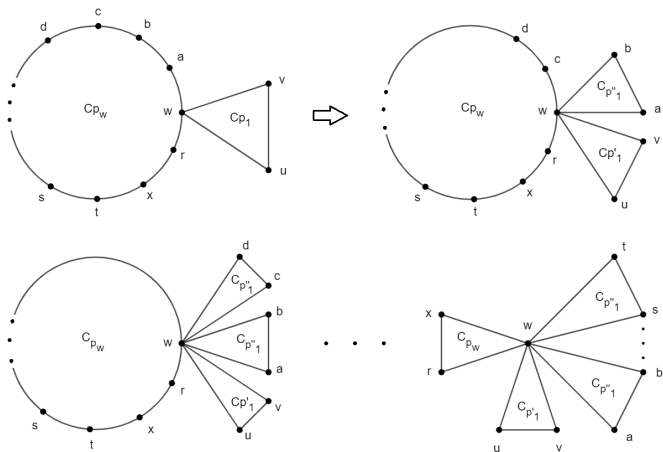


Figura 11: Vertices shift transformation of graph  $B_1(3, n-2)$ .

## Resultado: Família $\mathcal{O}(n)$

### Corollary 1.2

Let  $n \geq 9$  odd, where the largest cycle is denoted by  $C_{p_w}$  (with odd size) and the second smallest cycle, is denoted by  $C_{p_1}$ . Then, we have

$$\begin{aligned}
 ABC_{GG}(G) &= 2(p_w - 1) \sqrt{\frac{n-3}{(p_w-1)(2n-p_w-1)}} + \frac{2\sqrt{p_w-3}}{p_w-1} \\
 &+ 2(p_1 - 1) \sqrt{\frac{n-3}{(p_1-1)(2n-p_1-1)}} + \frac{2\sqrt{p_1-3}}{p_1-1}.
 \end{aligned}$$

# Resultado: Família $\mathcal{O}(n)$

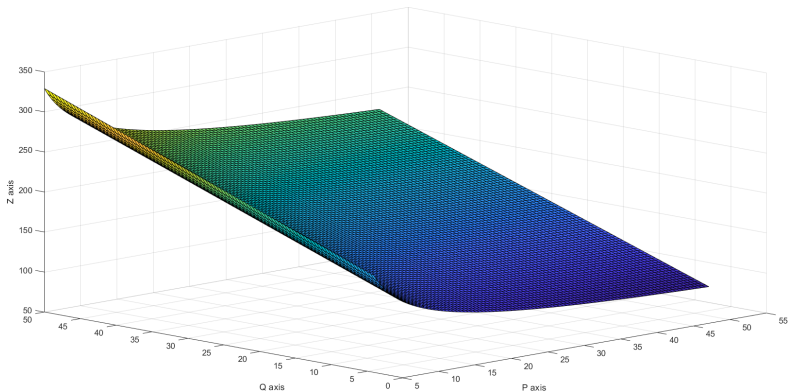


Figura 12: Function  $f(p, q)$

## Resultado: Família $\mathcal{O}(n)$

### Lemma 1.2

Let  $x \geq 9$  odd and the function  $f_2(x)$  and  $g_2(x)$  defined as

$$f_2(x) = 2(n-x-3)\sqrt{\frac{n-3}{(n+x+1)(n-x-3)}} + \frac{2\sqrt{n-x-5}}{n-x-3}$$

and

$$g_2(x) = 2(n-x-2)\sqrt{\frac{n-2}{(n+x+2)(n-x-2)}} \\ + 2\sqrt{\frac{n-3}{n-2}} + \sqrt{\frac{n-2}{n-1}}.$$

We have that  $f_2(x) < g_2(x)$ .

## Resultado: Família $\mathcal{O}(n)$

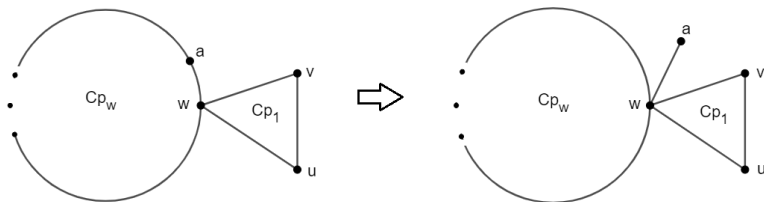


Figura 13: Edge shift transformation of graph  $B_1(3, n-2)$ .

## Resultado: Família $\mathcal{O}(n)$

### Corollary 1.3

Let  $n \geq 9$ . Denote the largest cycle by  $C_{p_w}$  (odd size) and the second smallest cycle by  $C_{p_1}$ . Then, we have

$$\begin{aligned}
 ABC_{GG}(G) &= 2p_w \sqrt{\frac{n-2}{(p_w)(2n-p_w)}} + \sqrt{\frac{n-2}{n-1}} \\
 &+ 2(p_1-1) \sqrt{\frac{n-3}{(p_1-1)(2n-p_1-1)}} + \frac{2\sqrt{p_1-3}}{p_1-1}.
 \end{aligned}$$



## Resultado: Família $\mathcal{O}(n)$

### Corollary 1.4

Let  $n \geq 8$  even,  $3 \leq p \leq n - 1$  for the cycle odd,  $1 \leq q \leq n - 3$  pendent vertices (or  $n \geq 9$  odd,  $3 \leq p \leq n - 2$  cycle odd,  $2 \leq q \leq n - 3$  pendent vertices) and  $n = p + q$ . Then, we have,

$$\begin{aligned}
 ABC_{GG}(G) &= 2(p-1)\sqrt{\frac{p+q-3}{(p+2q-1)(p-1)}} + \frac{2\sqrt{p-3}}{p-1} \\
 &+ q\sqrt{\frac{p+q-2}{p+q-1}}.
 \end{aligned}$$

## Resultado: Família $\mathcal{O}(n)$

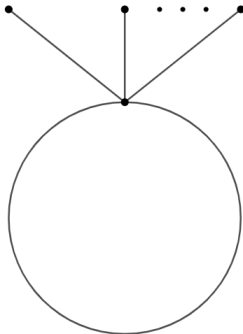


Figura 14: Graph with one cycle and pendent vertices.

## Resultado: Família $\mathcal{O}(n)$

### Corollary 1.5

Let  $n \geq 12$  even,  $3 \leq p \leq n - 1$  cycle odd,  $1 \leq l \leq n - 3$  odd path (or  $n \geq 9$  odd,  $3 \leq p \leq n - 2$  cycle odd,  $2 \leq l \leq n - 3$  even path) and  $n = p + l$ . Then, we have,

$$\begin{aligned}
 ABC_{GG}(G) &= 2(p-1) \sqrt{\frac{p+l-3}{(p+2l-1)(p-1)}} + \frac{2\sqrt{p-3}}{p-1} \\
 &+ \sqrt{n-2} \sum_{i=0}^{l-1} \frac{1}{\sqrt{(p+i)(l-i)}}.
 \end{aligned}$$

## Resultado: Família $\mathcal{O}(n)$

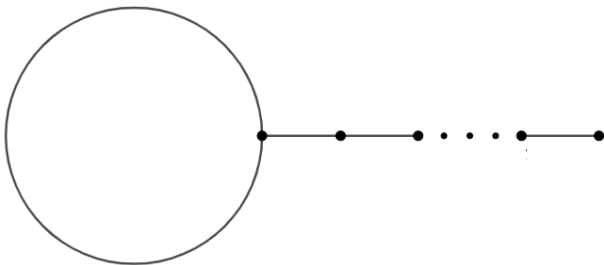


Figura 15: Graph with one cycle and one path.

## Contribuições

D. Pacheco, J. Arica, G. Guillermina, L. Guillerm, Graovac-Ghorbani index for a family of graphs, *Discrete Mathematics Letters* (Submitted).

Discrete Mathematics Letters  
[www.dmlett.com](http://www.dmlett.com)

*Discrete Math. Lett.* X (202X) XX–XX

Graovac-Ghorbani index for a family of graphs.

Diego Pacheco, José Arica, Gudelia Guillermina, Luis Guillerm

Universidade Estadual do Norte Fluminense, Av. Alberto Lamego, 2000 - Parque California,

## Contribuições

- Diego Pacheco, Carla Oliveira, Anderson Novanta *A Survey on Graovac–Ghorbani Index*, MATCH Communications in Mathematical and in Computer Chemistry, **90 (1)** (2023) 301–312.
- Diego Pacheco, Leonardo de Lima, Carla Oliveira, *On the Graovac–Ghorbani Index for Bicyclic Graphs with No Pendant Vertices*, MATCH Communications in Mathematical and in Computer Chemistry, **86 (2)** (2021) 429–448.
- Diego Pacheco, Leonardo de Lima, Carla Oliveira, *Graovac–Ghorbani index for bicyclic graphs with no pendant vertices*, Apresentado no International Linear Algebra Society - ILAS, 2019.

## Contribuições

- Diego Pacheco, Leonardo de Lima, *Novos resultados para o índice de conectividade atômica (ABC) em grafos que modelam dendrímeros*, 50<sup>o</sup> SBPO, 2018.
- Diego Pacheco, Leonardo de Lima, *Novos resultados para o índice de conectividade atômica (ABC) em grafos que modelam dendrímeros*, 50<sup>o</sup> SBPO, 2018.

## Contribuições

- Diego Pacheco, Leonardo de Lima, índice de Conectividade atômica (ABC) em grafos, Apresentado no III Simpósio em Métodos Numéricos em Engenharia, Universidade Federal do Paraná, 2018.
- Diego Pacheco, Leonardo de Lima, Índice de conectividade de Atômica (ABC) para definidas Classes de Grafos a partir da Matriz  $S(G)$ . Apresentado na XXII Escuela Latinoamericana de Verano en Investigacion de Operaciones, ELAVIO, Chile, 2018.



## Referências Bibliográficas



E. Estrada, Atom—bond connectivity and the energetic of branched alkanes, *Chem. Phys. Lett.* **463** (2008) 422—425.



E. Estrada, L. Torres, L. Rodriguez, I. Gutman, An atom-bond connectivity index: Modelling the enthalpy of formation of alkanes, *Indian J. Chem.* **37** (1998) 849—855.



B. Furtula, Atom—Bond Connectivity Index Versus Graovac—Ghorbani Analog, *MATCH Commun. Math. Comput. Chem.* **75** (2016) 233-242.

## Referências Bibliográficas



K. Das, On the Graovac–Ghorbani index of graphs, *App. Math. Comp.* **275** (2016) 353–360.



K. Das, M. Mohammed, I. Gutman, K. Atan, Comparison between Atom—Bond Connectivity Indices of Graphs, *MATCH Commun. Math. Comput. Chem.* **76** (2016) 159–170.



D. Dimitrov, B. Ilica, R. Skrekovski. Remarks on the Graovac–Ghorbani index of bipartite graphs, *Appl. Math. Comp.* **293** (2017) 370–376.

## Referências Bibliográficas



A. Graovac, M. Ghorbani, A new version of atom-bond connectivity index, *Acta Chim. Slov* **57** (2010) 609-612.



M. Rostami, M. Sohrab-Haghifhat, M. Ghorbani, On Second Atom-Bond Connectivity Index, *Iranian J. Math. Chem.* **4** (2013) 265–270.



M. Rostami, M. Sohrabi-Haghighat, Further Results on New Version of Atom – Bond Connectivity Index, *MATCH Commun. Math. Comput. Chem.* **71** (2014) 21–32.